

Materiais Elétricos e Magnéticos para Engenharia

Professor: Marcus V. Batistuta

Aula-2

Mecânica Quântica: O Elétron no Átomo

1º Semestre de 2018

FGA - Universidade de Brasília

Relações Fundamentais

$$E = h\nu$$

$$p = h/\lambda$$

$$p = \hbar k$$

$$k = 2\pi/\lambda$$

Função de Onda

$$\Psi(x, t) = A e^{ik_0x - i\omega t} \quad (\text{Onda Plana})$$

$$k_0 = p_0/\hbar$$

$$E = \hbar\omega$$

$$\Delta k_0 = 0$$

$$\Delta x \rightarrow \infty$$

Princípio da Incerteza (Heisenberg – 1927)

$$\Delta p = \hbar\Delta k$$

$$\Delta x \Delta k \simeq 1$$

$$\Psi(x, 0)$$



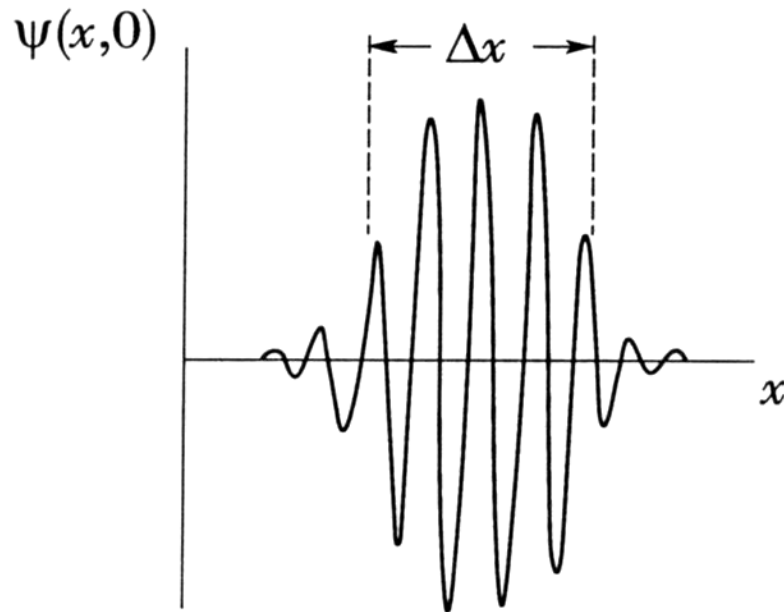
$$\Delta x \Delta p \simeq \hbar$$

(Superposição de Ondas Planas)

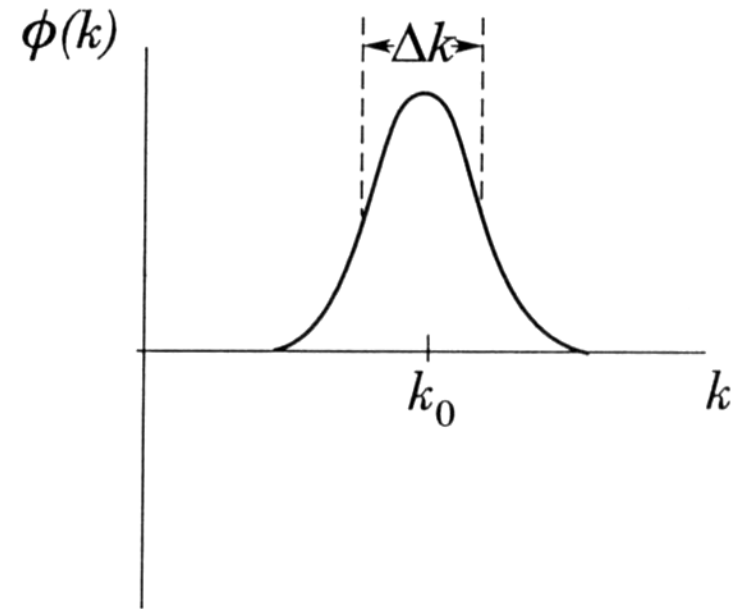
t = 0

$$\Delta x \Delta p \geq \hbar/2$$

$$\Delta E \Delta t \geq \hbar/2$$



(a)



(b)

Figura 2.14: (a) Pacote de ondas que descreve o estado de uma partícula livre localizada numa região do espaço. (b) Transformada de Fourier do pacote de ondas mostrado em (a).

Probabilidade de Função de Onda

$$P(x, t) = \Psi^*(x, t) \Psi(x, t)$$

$$\int_{-\infty}^{\infty} P(x, t) dx = \int_{-\infty}^{\infty} \Psi^*(x, t) \Psi(x, t) dx = 1$$

Operadores Quânticos

$$p_{op} = -i\hbar \frac{\partial}{\partial x} \quad (\text{Momentum})$$

$$p_{op} \Psi(x, t) = -i\hbar \frac{\partial}{\partial x} A e^{ik_0 x - i\omega t} = \hbar k_0 \Psi(x, t) \quad (\text{Elétron Livre})$$

$$p_{op} \Psi = p \Psi$$

Autofunção

Autovalor

Operador Momentum

$$\vec{p}_{op} = -i\hbar \nabla = -i\hbar \left(\hat{x} \frac{\partial}{\partial x} + \hat{y} \frac{\partial}{\partial y} + \hat{z} \frac{\partial}{\partial z} \right)$$

Operador Energia

$$E_{op} = i\hbar \frac{\partial}{\partial t}$$

$$E_{op} \Psi(x, t) = i\hbar \frac{\partial}{\partial t} A e^{ik_0 x - i\omega t} = \hbar\omega \Psi(x, t) \quad (\text{Elétron Livre})$$

Autovalor

$$E = \hbar\omega$$

Operador Energia Cinética

$$T_{op} = \frac{1}{2m} \vec{p}_{op} \cdot \vec{p}_{op} = -\frac{\hbar^2}{2m} \nabla \cdot \nabla = -\frac{\hbar^2}{2m} \nabla^2$$

$$\nabla^2 = \frac{\partial^2}{\partial x^2} + \frac{\partial^2}{\partial y^2} + \frac{\partial^2}{\partial z^2}$$

$$T_{op} = -\frac{\hbar^2}{2m} \frac{\partial^2}{\partial x^2}$$

Grandeza Clássica	Operador Quântico
x	x
\vec{r}	\vec{r}
p_x	$-i\hbar\partial/\partial x$
\vec{p}	$-i\hbar\nabla$
E	$i\hbar\partial/\partial t$
T	$-(\hbar^2/2m)\nabla^2$
\vec{L}	$-i\hbar\vec{r} \times \nabla$

Valor Esperado

$$\int_{-\infty}^{\infty} \Psi^* \Psi \, dx dy dz = 1$$

$$\langle Q \rangle = \int_{-\infty}^{\infty} \Psi^* Q_{op} \Psi \, dx dy dz$$

Equação de Schrödinger (1926)

$$(T_{op} + V_{op})\Psi = E_{op}\Psi$$

$$-\frac{\hbar^2}{2m}\nabla^2\Psi(\vec{r}, t) + V_{op}\Psi(\vec{r}, t) = i\hbar\frac{\partial\Psi(\vec{r}, t)}{\partial t}$$

$$-\frac{\hbar^2}{2m}\frac{\partial^2\Psi}{\partial x^2} + V\Psi = i\hbar\frac{\partial\Psi}{\partial t} \quad (1D)$$

Equação de Schrödinger Independente do Tempo

$$\Psi(\vec{r}, t) = \psi(\vec{r})\phi(t)$$

$$-\frac{\hbar^2}{2m}\nabla^2\psi(\vec{r})\phi(t) + V(\vec{r})\psi(\vec{r})\phi(t) = i\hbar\frac{\partial\phi(t)}{\partial t}\psi(\vec{r})$$

Divide por: $\psi(\vec{r})\phi(t)$

$$\frac{1}{\psi(\vec{r})} \left[-\frac{\hbar^2}{2m}\nabla^2\psi(\vec{r}) + V(\vec{r})\psi(\vec{r}) \right] = \frac{1}{\phi(t)} \left[i\hbar\frac{\partial\phi(t)}{\partial t} \right]$$

$$\frac{d\phi(t)}{dt} = -i\frac{E}{\hbar}\phi(t) \quad \longrightarrow \quad \phi(t) = \exp\left(-i\frac{E}{\hbar}t\right)$$

$$-\frac{\hbar^2}{2m}\nabla^2\psi(\vec{r}) + V(\vec{r})\psi(\vec{r}) = E\psi(\vec{r})$$

Hamiltoniano

$$\mathcal{H} \psi(\vec{r}) = E \psi(\vec{r})$$

$$\mathcal{H} = -\frac{\hbar^2}{2m} \nabla^2 + V(\vec{r})$$

Solução Completa da Eq. de Schrödinger

$$\Psi(\vec{r}, t) = \psi(\vec{r}) \exp \left(-i \frac{E}{\hbar} t \right)$$

$$P(\vec{r}, t) = \Psi^*(\vec{r}, t) \Psi(\vec{r}, t) = |\psi(\vec{r})|^2$$

Estado Estacionário!

Elétron Libre (1D)

$$V(r) = \text{constante.}$$

$$\vec{F} = -\nabla V = 0$$

$$V = 0$$

$$-\frac{\hbar^2}{2m} \frac{d^2\psi(x)}{dx^2} = E \psi(x) \quad \longrightarrow \quad \psi(x) = A e^{ikx} + B e^{-ikx}$$

$$E = \frac{\hbar^2 k^2}{2m} \quad E = \frac{p^2}{2m}$$

$$\phi(t) = \exp(-iEt/\hbar)$$

$$\Psi(x, t) = A e^{ikx - i\omega t}$$

Relação de Dispersão - Elétron Livre (1D)

$$E = \hbar\omega$$

$$\omega(k) = \frac{\hbar}{2m}k^2$$

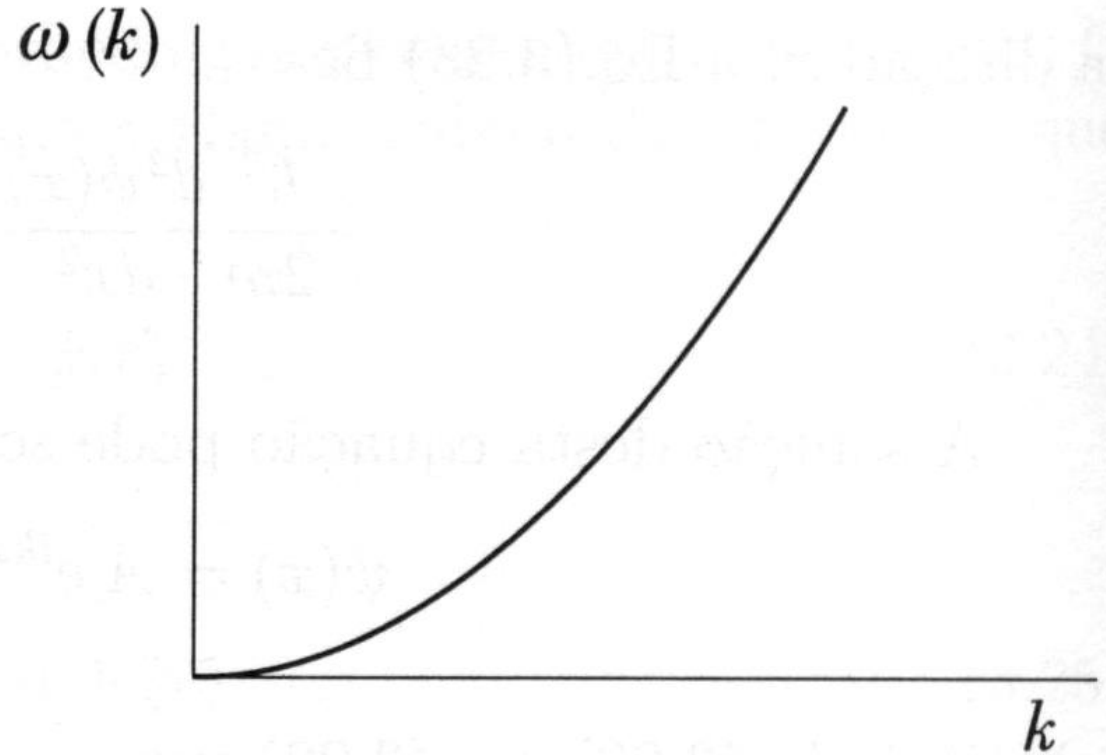
$$\lambda = \frac{2\pi}{k}$$

$$k = \frac{\sqrt{2mE}}{\hbar}$$

$$v_g = \left. \frac{\partial \omega}{\partial k} \right|_{k_0}$$

$$v_{part} = v_g = \frac{\hbar}{m}k_0$$

$$p = m v_{part} = \hbar k_0$$



Curral Quântico

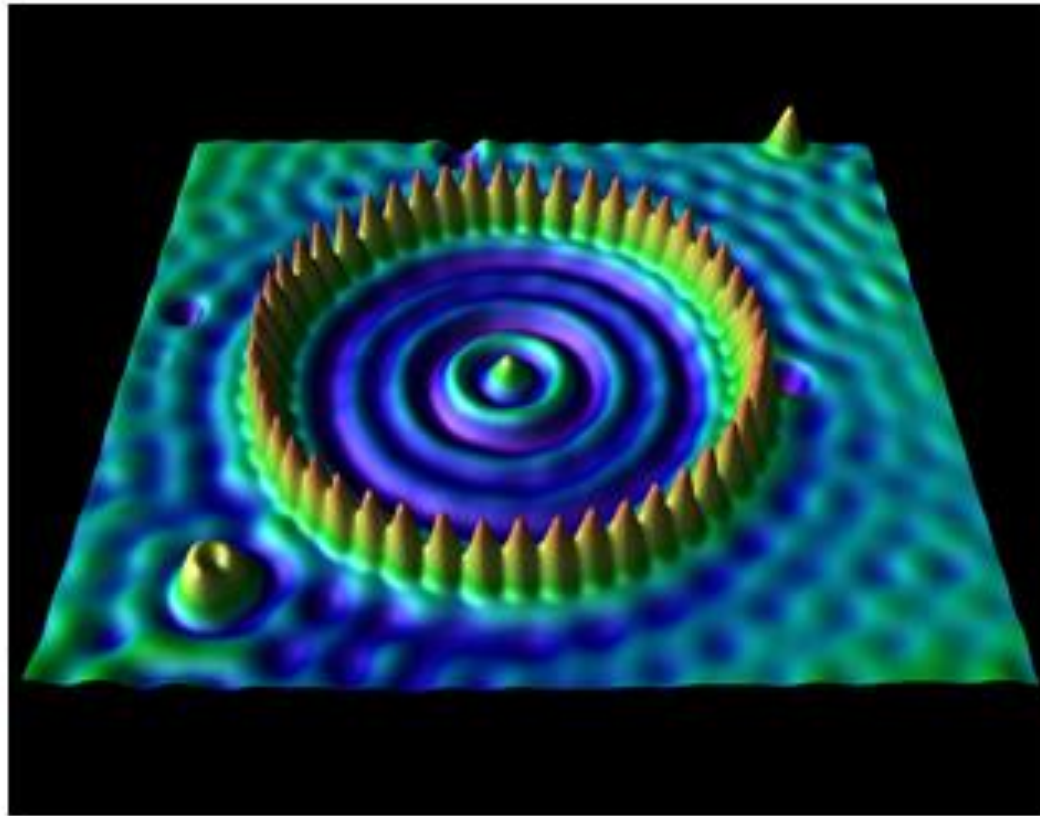


Image: Image taken with a scanning tunneling microscope. This image is about 5 nanometers shows a copper surface where the copper atoms are contained within an enclosure quantum of 48 iron atoms. The circular barrier iron has a radius of 71.3 Angstroms (71.3×10^{-10}) meter. We see the electrons behave like waves.

© IBM Almaden Visualization Lab

Elétron num Poço de Potencial Infinito (1D)

$$V(x) = \begin{cases} 0 & 0 < x < L \\ \infty & x \leq 0 \quad ; \quad x \geq L \end{cases}$$

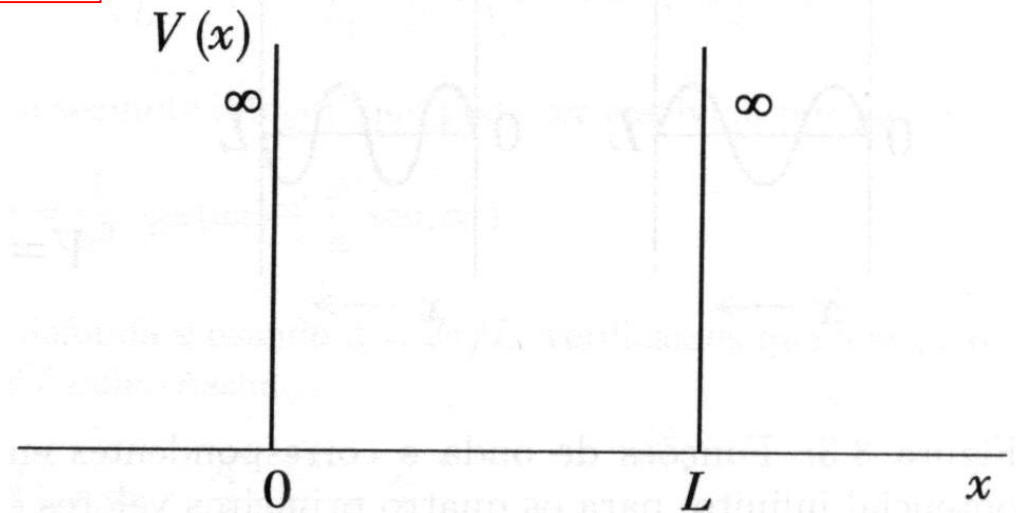
$$\psi(x) = A e^{ikx} + B e^{-ikx} \quad (0 < x < L)$$

Euler: $e^{ikx} = \cos(kx) + i.\text{sen}(kx)$

$$E = (\hbar k)^2 / 2m$$


$$x \leq 0 \text{ e } x \geq L, \psi = 0$$

$$\psi(x = 0) = \psi(x = L) = 0$$



$$B = -A$$

Autofunções



$$\psi_n(x) = A_n \sin k_n x$$

$$\psi(L) = 0 \quad \longrightarrow \quad k_n = n \frac{\pi}{L} \quad (n = 1, 2, 3, 4, \dots)$$

n – número quântico

$$E = (\hbar k)^2 / 2m$$

Autovalores


$$E_n = \frac{\hbar^2 \pi^2}{2mL^2} n^2$$

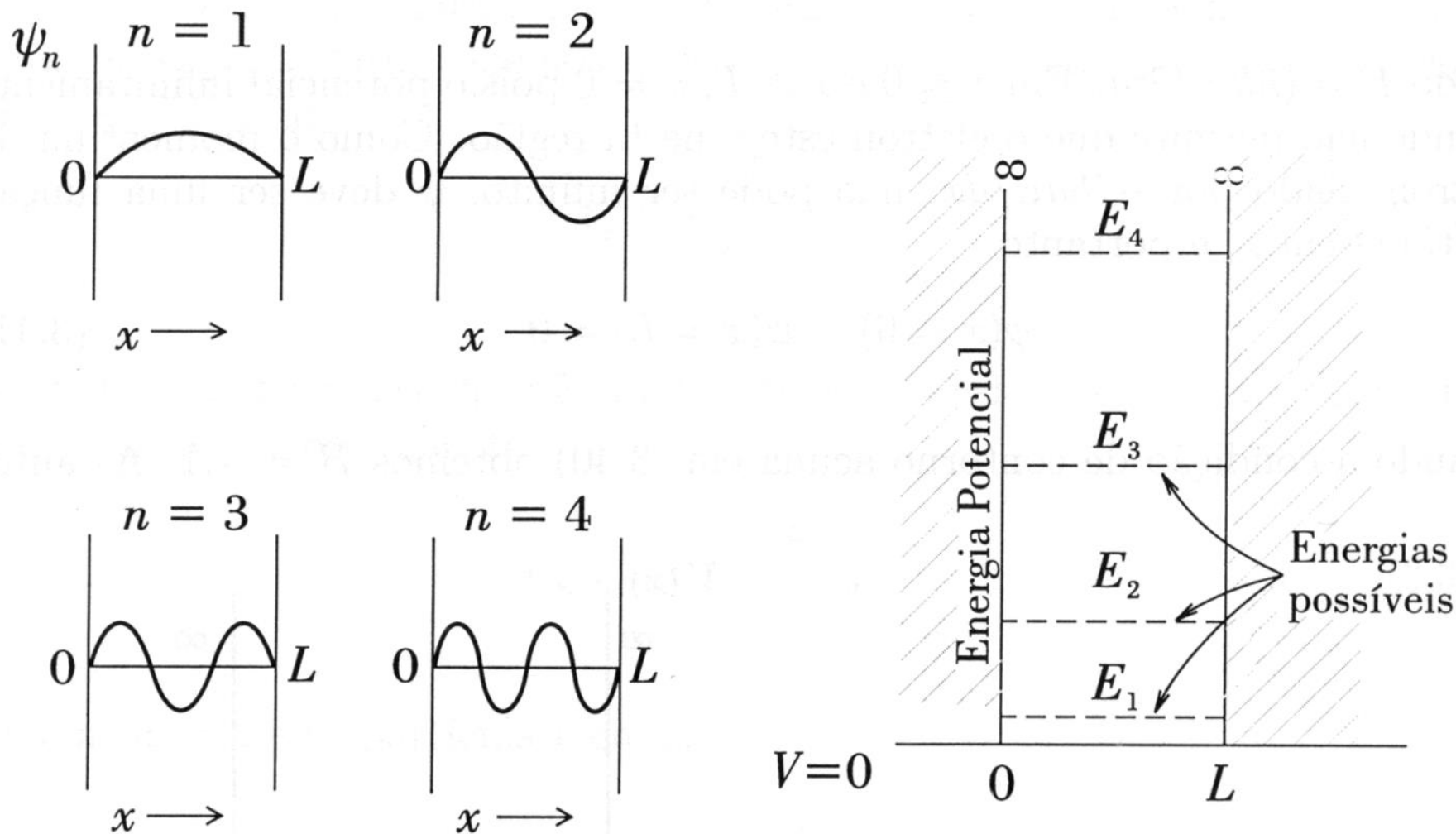


Figura 3.3: Funções de onda e correspondentes energias de uma partícula num poço de potencial infinito, para os quatro primeiros valores do número quântico n .

Exemplo 3.1: Uma partícula está no estado fundamental num poço de potencial infinito de largura L . Calcule: a) Os valores esperados da posição x e do momentum p_x ; b) Os desvios médios quadráticos de x e de p_x .

a) A função de onda da partícula no estado fundamental é dada por (3.42) e (3.43) com $n = 1$, $\psi = A \sin(\pi x/L)$. Para normalizar a função de onda usamos a condição (3.1),

$$\int_0^L A^2 \sin^2\left(\frac{\pi}{L}x\right) dx = A^2 \int_0^L \sin^2\left(\frac{\pi}{L}x\right) dx = A^2 \frac{L}{\pi} \int_0^\pi \sin^2\left(\frac{\pi}{L}x\right) d\left(\frac{\pi x}{L}\right) = 1.$$

Como $\sin^2\alpha = (1 - \cos 2\alpha)/2$, o integrando pode ser dividido em duas parcelas. Fazendo $\alpha \equiv (\pi x/L)$, é fácil ver que a integral da primeira parcela é $\pi/2$ e a da segunda é nula. Então,

$$A^2 \frac{L}{\pi} \frac{\pi}{2} = 1, \text{ logo } A = \sqrt{\frac{2}{L}}.$$

O valor esperado de x é

$$\bar{x} = \int_{-\infty}^{\infty} \psi^* x \psi dx = \int_0^L A^2 x \sin^2 \left(\frac{\pi}{L} x \right) dx = \int_0^L \frac{A^2}{2} x \left(1 - \cos \frac{2\pi}{L} x \right) dx$$

Para calcular esta expressão usamos a seguinte integral que pode ser resolvida por partes,

$$\int x \cos ax dx = \frac{1}{a^2} \cos(ax) + \frac{x}{a} \sin(ax) .$$

Aplicando este resultado na integral definida e usando $a = 2\pi/L$, verificamos que a segunda parcela da integral na expressão de \bar{x} é nula. Assim,

$$\bar{x} = \frac{A^2}{2} \int_0^L x dx = \frac{A^2}{2} \frac{L^2}{2} = \frac{L}{2}$$

Este resultado era, de certa forma, esperado, pois uma partícula que se movimenta livremente entre $x = 0$ e $x = L$ tem uma posição média em $x = L/2$.

O valor esperado do momentum é,

$$\begin{aligned} \bar{p}_x &= \int_{-\infty}^{\infty} \psi^* (-i\hbar) \frac{\partial \psi}{\partial x} dx = -i\hbar A^2 \int_0^L \sin \left(\frac{\pi}{L} x \right) \frac{\pi}{L} \cos \left(\frac{\pi}{L} x \right) dx \\ &= -i\hbar \frac{A^2}{2} \frac{\pi}{L} \int_0^L \sin \left(\frac{2\pi}{L} x \right) dx = 0 \end{aligned}$$

Este resultado também é natural, pois uma partícula que vai e volta dentro de uma caixa, com energia constante, tem velocidade média nula.

b) O desvio médio quadrático de x é definido por

$$\overline{\Delta x^2} = \langle x^2 - \bar{x}^2 \rangle$$

Então

$$\begin{aligned}\overline{\Delta x^2} &= A^2 \int_0^L \left(x^2 - \frac{L^2}{4} \right) \sin^2 \left(\frac{\pi}{L} x \right) dx \\ &= \frac{A^2}{2} \int_0^L \left(x^2 - \frac{L^2}{4} \right) \left(1 - \cos \frac{2\pi}{L} x \right) dx\end{aligned}$$

Para resolver esta expressão, usamos o resultado,

$$\int x^2 \cos(ax) dx = \frac{2x \cos(ax)}{a^2} + \frac{a^2 x^2 - 2}{a^3} \sin(ax) .$$

Após algumas contas simples obtemos, finalmente,

$$\overline{\Delta x^2} = \left(\frac{L}{2\pi} \right)^2 \left(\frac{\pi^2 - 6}{3} \right) = 0,033 L^2$$

O desvio médio quadrático do momentum pode ser calculado de maneira semelhante. O resultado é,

$$\overline{\Delta p_x^2} = \left(\frac{\hbar \pi}{L} \right)^2$$

É interessante notar que as incertezas na determinação da posição e do momentum podem ser consideradas como as raízes quadradas dos desvios médios quadráticos. Assim,

$$\Delta x = \left(\overline{\Delta x^2} \right)^{1/2} = \sqrt{0,033} L = 0,18 L$$

$$\Delta p_x = \left(\overline{\Delta p_x^2} \right)^{1/2} = \hbar \frac{\pi}{L} .$$

O produto dessas duas grandezas dá,

$$\Delta x \Delta p_x = 0,18 \pi \hbar = 0,57 \hbar .$$

Este resultado é consistente com o princípio da incerteza, que estabelece como limite mínimo para o produto das incertezas o valor de $\hbar/2$.

Barreira de Potencial – Efeito Túnel

Região-1

$$\psi_1(x) = A e^{ikx} + B e^{-ikx}$$

$$k = (2mE)^{1/2}/\hbar$$

Região-2

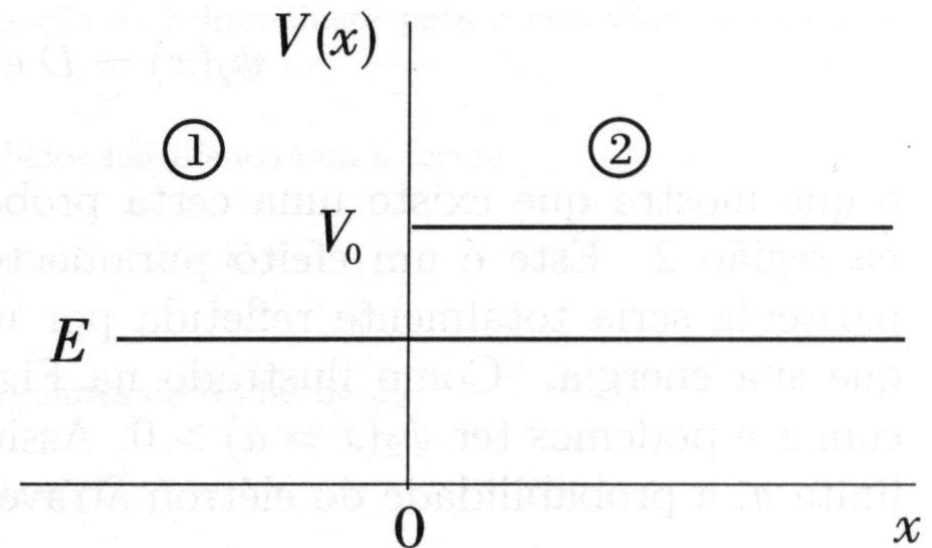
$$\frac{d^2\psi}{dx^2} = \frac{2m}{\hbar^2}(V_0 - E) \psi$$

$$(V_0 - E) > 0 \quad \longrightarrow \quad \psi_2(x) = C e^{\gamma x} + D e^{-\gamma x}$$

γ Real (Não-propaga)

$$\gamma = \sqrt{2m(V_0 - E)}/\hbar$$

$$E > V_0 \quad \longrightarrow \quad \gamma \text{ Imaginário (Propaga)}$$



$$C = 0$$

$$\psi_1(0) = \psi_2(0)$$

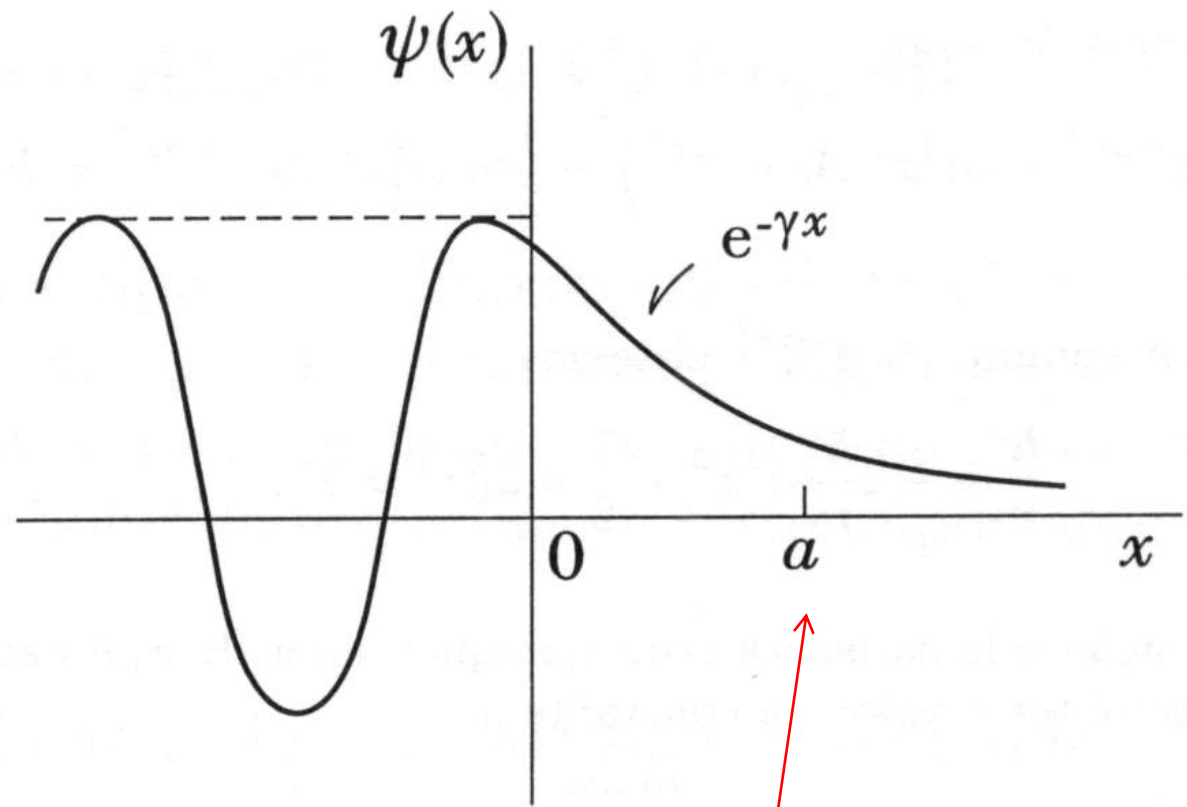
$$A + B = D$$

$$\left. \frac{d\psi_1}{dx} \right|_0 = \left. \frac{d\psi_2}{dx} \right|_0$$

$$ik(A - B) = -\gamma D$$

$$D = \frac{2k}{k + i\gamma} A \quad B = \frac{(k - i\gamma)}{k + i\gamma} A$$

Região-2 $\psi_2(x) = D e^{-\gamma x}$

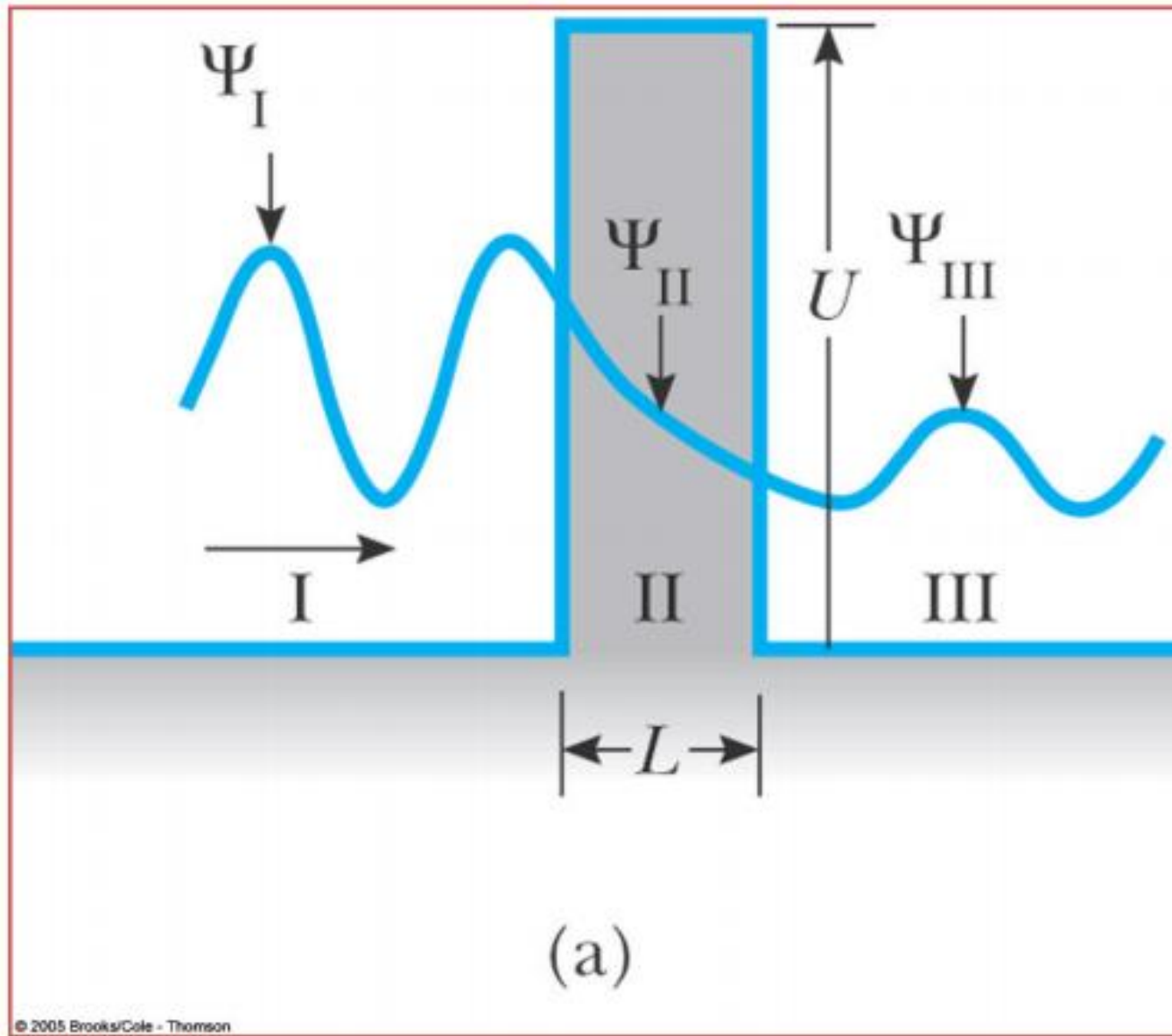


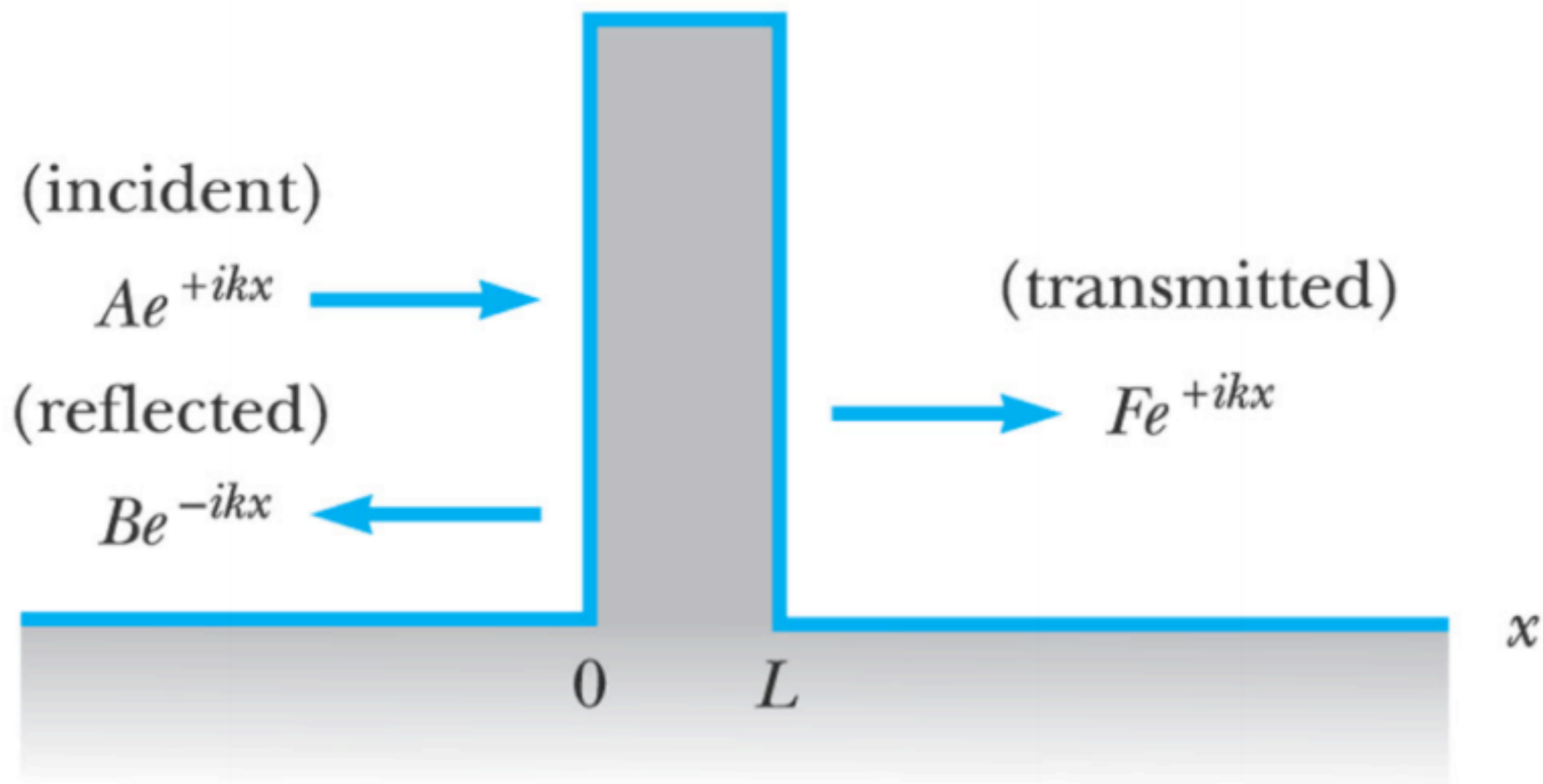
Evanescente!

$$|\psi_2(a)|^2 = e^{-2\gamma a}$$

Probabilidade de Tunelamento Aproximada

Barreira de Potencial Retangular - Efeito Túnel





(b)

Equação de Schroedinger Independente do Tempo

$$-\frac{\hbar^2}{2m} \frac{d^2}{dx^2} \phi(x) = (E - U) \phi(x)$$

Região-I: $U = 0$

$$\phi(x) = Ae^{ikx} + Be^{-ikx}, \quad k = \frac{\sqrt{2mE}}{\hbar}$$

$$R = \frac{|\phi_{\text{reflected}}|^2}{|\phi_{\text{incident}}|^2} = \frac{|B|^2}{|A|^2}$$

Região-II: $U > E$

$$\phi(x) = Ce^{-\alpha x} + De^{\alpha x}$$

$$\alpha = \frac{\sqrt{2m(U - E)}}{\hbar}$$

Região-III: $U = 0$

$$\phi(x) = Fe^{ikx}, \quad k = \frac{\sqrt{2mE}}{\hbar}$$

$$T = \frac{|\phi_{\text{transmitted}}|^2}{|\phi_{\text{incident}}|^2} = \frac{|F|^2}{|A|^2}$$

$$T + R = 1$$

Critérios de Continuidade nas Fronteiras

ϕ Região-I = ϕ Região-II: $x = 0$

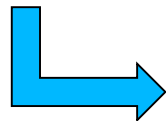
$$Ae^{ikx} + Be^{-ikx} = Ce^{-\alpha x} + De^{\alpha x} \quad \Rightarrow \quad A + B = C + D$$

ϕ Região-II = ϕ Região-III: $x = L$

$$Ce^{-\alpha L} + De^{\alpha L} = Fe^{ikL}$$

$d\phi/dx$ Região-I = $d\phi/dx$ Região-II: $x = 0$

$$ikAe^{ikx} - ikBe^{-ikx} = -\alpha Ce^{-\alpha x} + \alpha De^{\alpha x}$$



$$ikA - ikB = -\alpha C + \alpha D$$

$d\phi/dx$ Região-II = $d\phi/dx$ Região-III: $x = L$

$$-\alpha Ce^{-\alpha L} + \alpha De^{\alpha L} = ikFe^{ikL}$$

Solução de Sistema de Quatro Equações

$$A + B = C + D$$

$$Ce^{-\alpha L} + De^{\alpha L} = Fe^{ikL}$$

$$ikA - ikB = -\alpha C + \alpha D$$

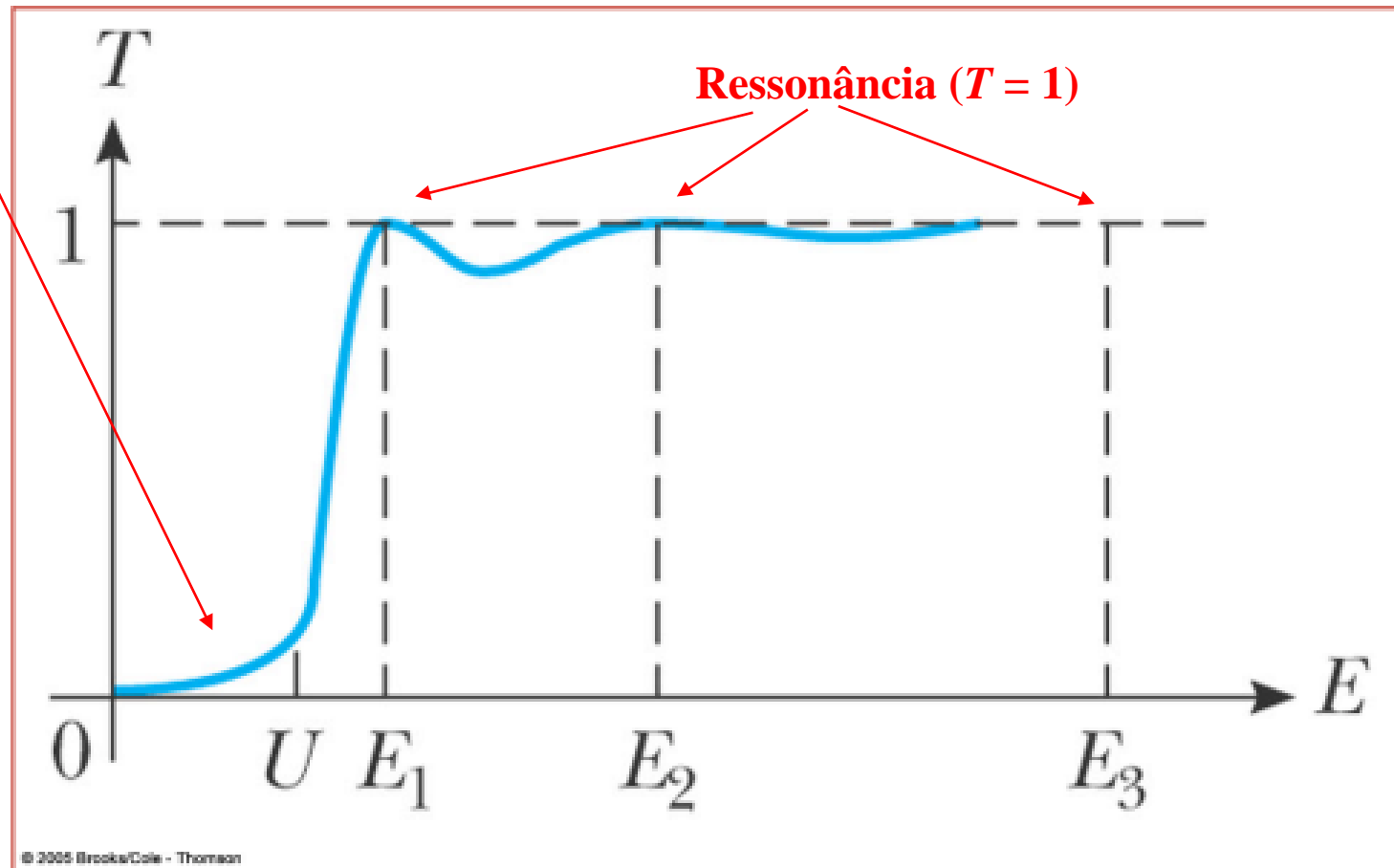
$$-\alpha Ce^{-\alpha L} + \alpha De^{\alpha L} = ikFe^{ikL}$$

Solução: Coeficiente de Transmissão

$$T = \frac{1}{1 + \frac{1}{4} \left[\frac{U^2}{E(U - E)} \right] \left[\frac{e^{\alpha L} + e^{-\alpha L}}{2} \right]^2}$$

Baixas Energias:
($L \gg$)

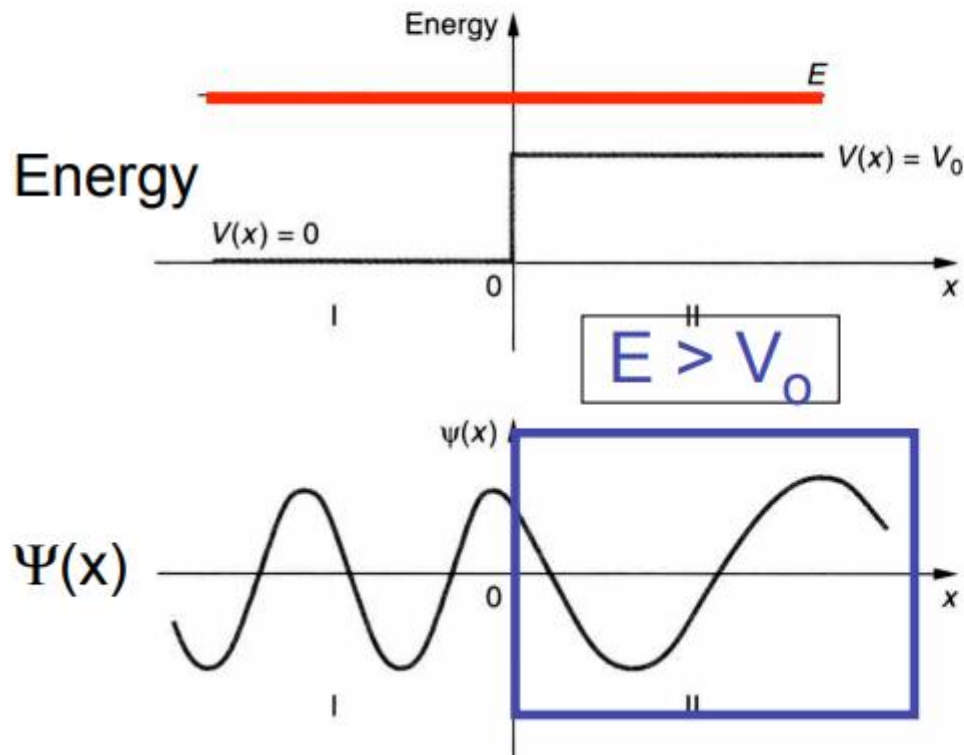
$$T \approx e^{-\alpha L}$$



Barreira de Potencial em Degrau - Efeito Túnel

Case 1

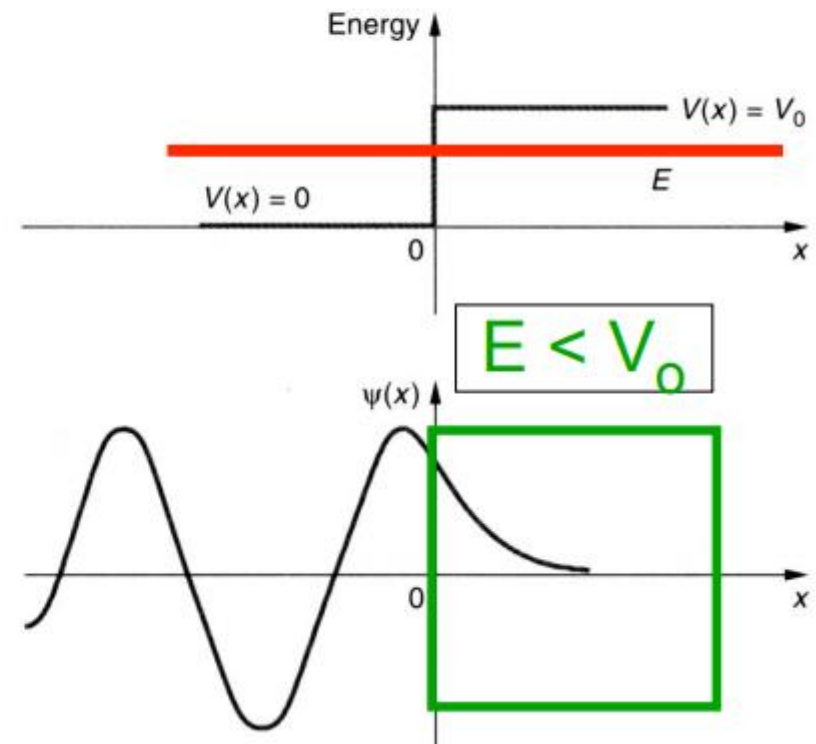
$\Psi(x)$ is oscillatory for $E > V_0$



Propagante

Case 2

$\Psi(x)$ is decaying for $E < V_0$



Evanescente

Barreira de Potencial em Degrau - Efeito Túnel

$$-\frac{\hbar^2}{2m} \frac{d^2}{dx^2} \phi(x) = (E - U) \phi(x)$$

Região-I: $U = 0$

$$\phi(x) = Ae^{ikx} + Be^{-ikx}, \quad k = \frac{\sqrt{2mE}}{\hbar}$$

Região-II: $U = V_0$

$$-\frac{\hbar^2}{2m} \frac{d^2}{dx^2} \phi(x) = (E - V_0) \phi(x)$$

$$k_2 = \frac{\sqrt{2m(E - V_0)}}{\hbar}$$

Solução: Transmissão e Reflexão em Degrau

$$R = \left(\frac{k_1 - k_2}{k_1 + k_2} \right)^2$$

$$T = \frac{4k_1 k_2}{(k_1 + k_2)^2}$$

$$k_1 = \frac{\sqrt{2mE}}{\hbar}$$

$$k_2 = \frac{\sqrt{2m(E - V_0)}}{\hbar}$$

$$R(\text{reflection}) + T(\text{transmission}) = 1$$

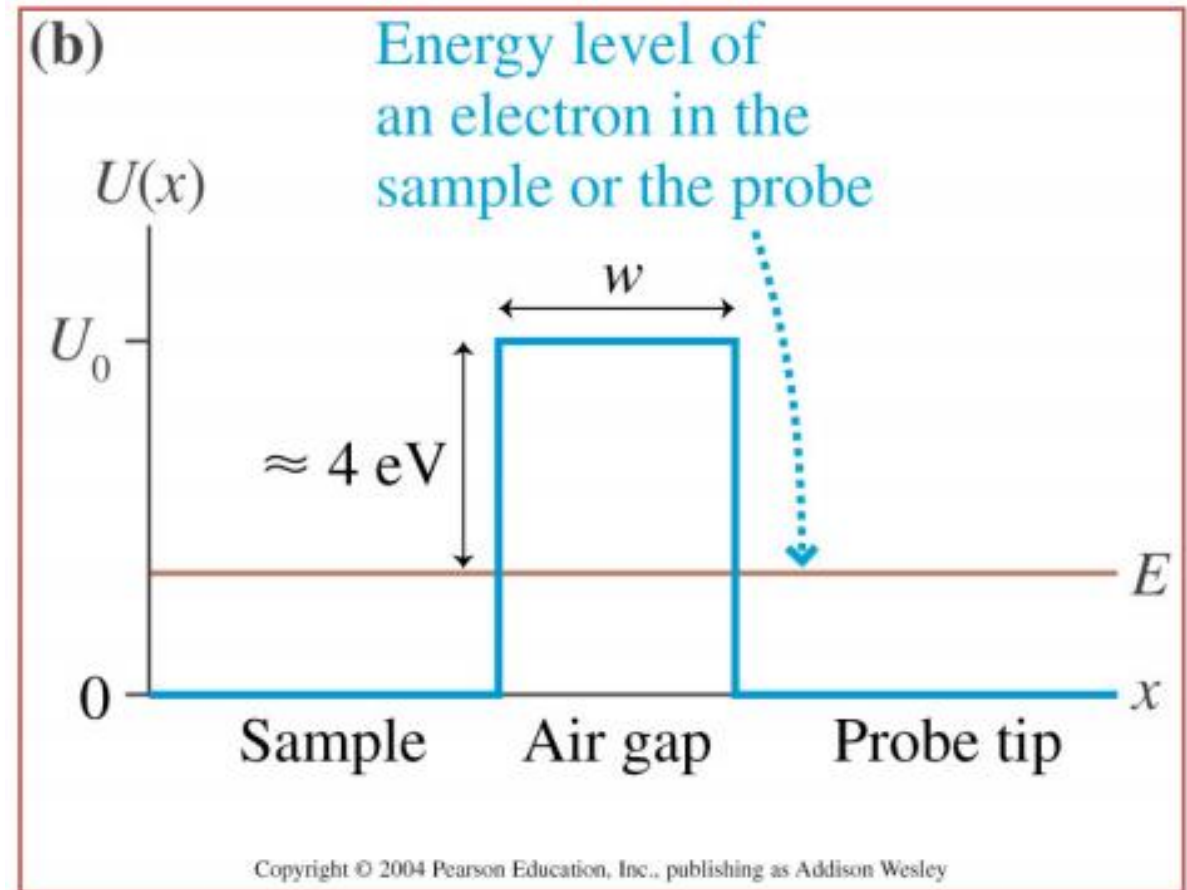
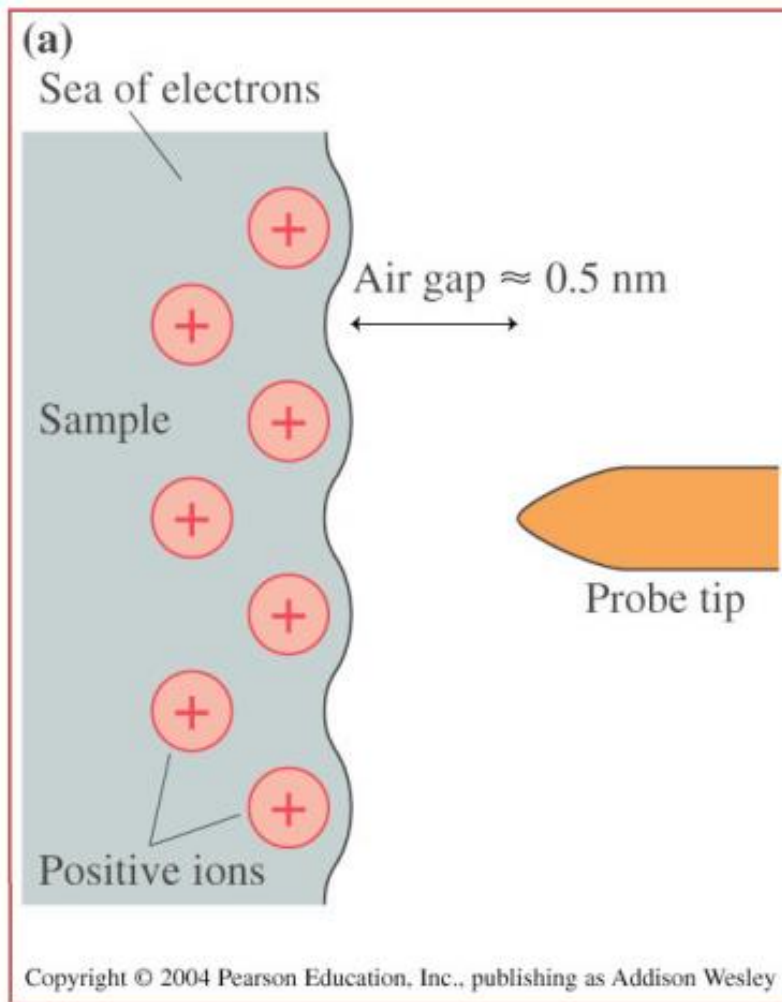
$R \neq 0$ para *step-up* ou *step-down*

The step barrier:

A free particle of mass m , wave number k_1 , and energy $E = 2V_o$ is traveling to the right. At $x = 0$, the potential jumps from zero to $-V_o$ and remains at this value for positive x . Find the wavenumber k_2 in the region $x > 0$ in terms of k_1 and V_o . Find the reflection and transmission coefficients R and T .

$$k_1 = \frac{\sqrt{2mE}}{\hbar} = \frac{\sqrt{2m(2V_o)}}{\hbar} = \frac{\sqrt{4mV_o}}{\hbar} \quad \text{and}$$
$$k_2 = \frac{\sqrt{2m|V - E|}}{\hbar} = \frac{\sqrt{2m|-V_o - 2V_o|}}{\hbar} = \frac{\sqrt{2m(3V_o)}}{\hbar} = \frac{\sqrt{6mV_o}}{\hbar} \quad \text{or} \quad \sqrt{\frac{3}{2}} k_1$$
$$R = \left(\frac{k_1 - k_2}{k_1 + k_2} \right)^2 = \left(\frac{k_1 - \sqrt{\frac{3}{2}} k_1}{k_1 + \sqrt{\frac{3}{2}} k_1} \right)^2 = \left(\frac{-0.225}{2.225} \right)^2 = 0.0102 \quad (1\% \text{ reflected})$$
$$T = 1 - R = 1 - 0.0102 = 0.99 \quad (99\% \text{ transmitted})$$

Scanning Tunneling Microscope (STM)



É preciso considerar também densidades de estados, efeitos de carregamento, ...

Emissão de Partículas Alfa de Núcleos Atômicos

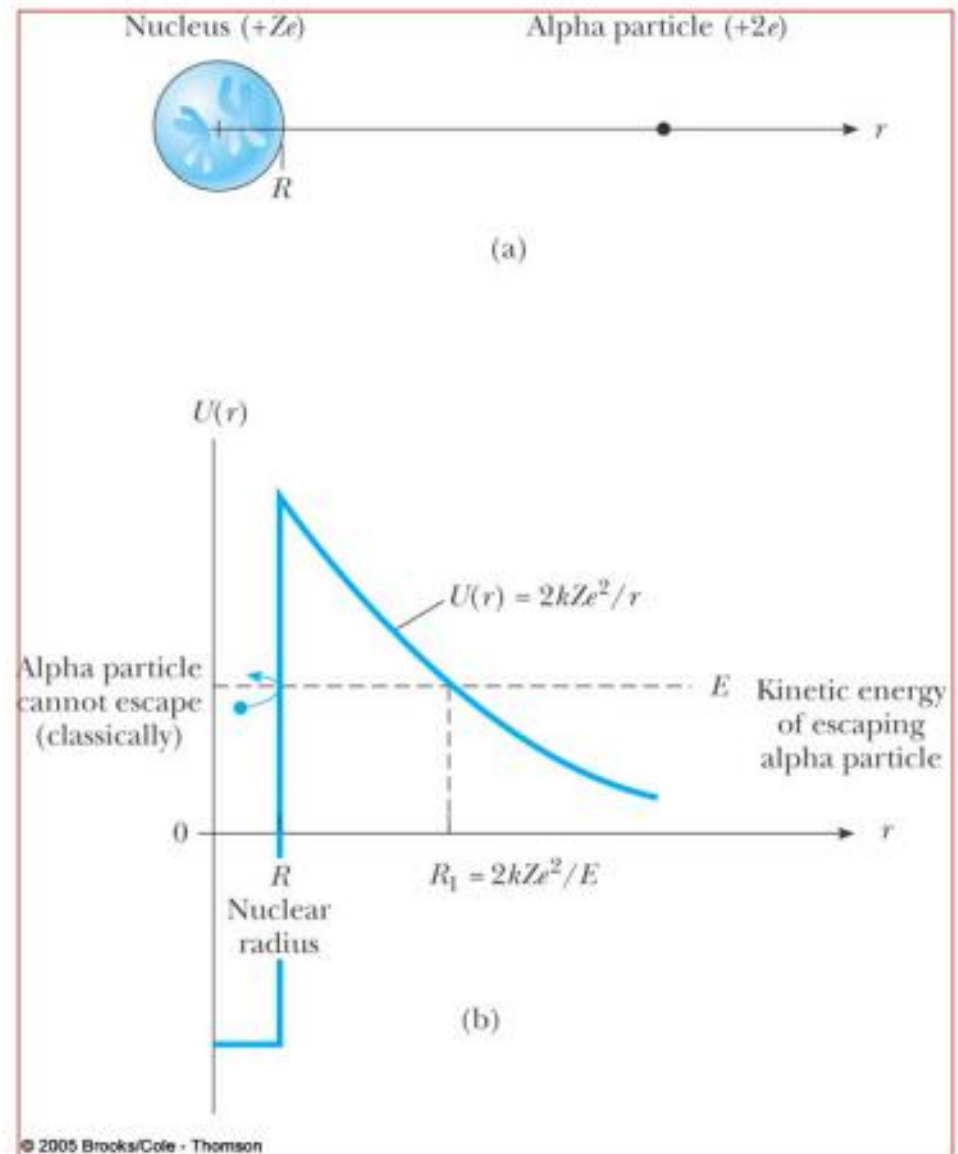
$$T = e^{8\sqrt{\frac{ZR}{r_0}} - 4\pi Z\sqrt{\frac{E_0}{E}}},$$

$$r_0 \approx 7.25 \text{ fm}, E_0 = 0.0993 \text{ MeV}$$

$$\lambda = fT \approx 10^{21} e^{8\sqrt{\frac{ZR}{r_0}} - 4\pi Z\sqrt{\frac{E_0}{E}}},$$

Meia-vida:

$$t_{1/2} = \frac{0.693}{\lambda}$$



Exemplo 3.2: Outra aplicação importante da mecânica quântica é a de uma partícula de massa m submetida a uma interação com um potencial de oscilador harmônico simples do tipo,

$$V(x) = \frac{1}{2} kx^2 = \frac{1}{2} m \omega_0^2 x^2 ,$$

onde $\omega_0 = \sqrt{k/m}$ é a frequência natural do oscilador. Verifique que as funções $\psi_0(x) = A_0 e^{-ax^2}$ e $\psi_1(x) = A_1 x e^{-ax^2}$ são autofunções da equação de Schroedinger para o oscilador harmônico e determine suas energias.

A equação de Schroedinger para o oscilador harmônico tem a forma,

$$-\frac{\hbar^2}{2m} \frac{d^2\psi}{dx^2} + \frac{1}{2} m \omega_0^2 x^2 \psi = E \psi .$$

Para o estado fundamental temos as seguintes derivadas de ψ_0 ,

$$\begin{aligned} \frac{d\psi_0}{dx} &= -2ax A_0 e^{-ax^2} , \\ \frac{d^2\psi_0}{dx^2} &= -2a A_0 e^{-ax^2} + 4a^2 x^2 A_0 e^{-ax^2} . \end{aligned}$$

Substituindo na equação vem,

$$-\frac{\hbar^2}{2m} \left(-2a A_0 e^{-ax^2} + 4a^2 x^2 A_0 e^{-ax^2} \right) + \frac{1}{2} m \omega_0^2 x^2 A_0 e^{-ax^2} = E A_0 e^{-ax^2} .$$

Cancelando o fator comum $A_0 e^{-ax^2}$ obtemos,

$$\frac{\hbar^2}{m} a - 2 \frac{\hbar^2}{m} a^2 x^2 + \frac{1}{2} m \omega_0^2 x^2 = E .$$

Para que esta equação seja satisfeita para qualquer valor de x , é necessário que o termo em x^2 seja nulo. Isto permite obter o valor da constante a ,

$$a = \frac{m \omega_0}{2\hbar} .$$

Substituindo esta expressão na equação anterior vem,

$$E = \frac{\hbar^2 a}{m} = \frac{1}{2} \hbar \omega_0 .$$

Esta é a energia do estado fundamental. O procedimento para obter a energia do estado ψ_1 é semelhante. Calculamos a derivada $d^2\psi_1/dx^2$, substituímos na equação de Schroedinger e cancelamos o fator comum, obtendo,

$$-\frac{\hbar^2}{2m} \left(-2ax - 4ax + 4a^2 x^3 \right) + \frac{1}{2} m \omega_0^2 x^3 = xE .$$

Neste caso é preciso anular separadamente todos os termos com potências iguais de x . O termo em x^3 leva ao mesmo valor de a obtido para o estado fundamental, enquanto o termo em x dá,

$$E = 3 \frac{\hbar^2 a}{m} = \frac{3}{2} \hbar \omega_0 .$$

Esta é a energia do primeiro estado excitado, cuja função de onda é precisamente ψ_1 . A solução geral da equação de Schroedinger para o oscilador harmônico, que está apresentada em detalhe nos livros de mecânica quântica, é dada por funções do tipo,

$$\psi_n(x) = (c_0 + c_1 x + c_2 x^2 + \cdots c_n x^n) e^{-ax^2} ,$$

onde a função entre parênteses é conhecida como polinômio de Hermite. A demonstração de que esta expressão é autofunção da equação de Schroedinger para o oscilador harmônico é feita de maneira análoga ao que fizemos para $n = 0$ e $n = 1$, que correspondem aos dois estados de menor energia. A solução geral mostra que a energia do estado excitado de ordem n é dada por,

$$E_n = \left(n + \frac{1}{2} \right) \hbar \omega_0 .$$

Este é um resultado importante que mostra que os níveis de energia dos estados do oscilador harmônico estão igualmente espaçados, com uma diferença entre dois níveis consecutivos de $\hbar \omega_0$.